

01; 10

АДИАБАТИЧЕСКАЯ САМОСОГЛАСОВАННАЯ МОДЕЛЬ УСКОРЕНИЯ ЗАРЯЖЕННЫХ ЧАСТИЦ ВДОЛЬ ФРОНТА ЭЛЕКТРОСТАТИЧЕСКОЙ ВОЛНЫ В ПОПЕРЕЧНОМ МАГНИТНОМ ПОЛЕ

М. И. Ситнов

Адиабатическая модель, в которой согласованно описываются ускорение заряженных частиц вдоль фронта электростатической волны в поперечном магнитном поле и ее нелинейное затухание, связанное с этим ускорением, исследована в нерелятивистском и ультрарелятивистском предельных случаях. В частности, исследована нелинейная эволюция волны вплоть до установления стационарного состояния системы (если оно имеется) и КПД преобразования энергии волны в кинетическую энергию ускоренных частиц. Получен энергетический спектр ускоренных частиц и обнаружен ряд его особенностей как связанных с особенностями первичного распределения захваченных частиц по энергии осцилляций поперек волнового фронта, так и отличающих данный механизм ускорения.

Введение

Ускорение заряженных частиц вдоль фронта электростатической волны большой амплитуды, распространяющейся в плазме поперек внешнего магнитного поля, объясняется электрическим полем, действующим на захваченные или отраженные от фронта частицы в связанной с волной системе отсчета [1, 2]. Естественно, такое взаимодействие частиц с волной должно приводить к изменению ее параметров и прежде всего к нелинейному затуханию волны, аналогичному затуханию Ландау [2]. В данной работе исследуется модель, согласованно описывающая оба эти процесса (ускорение частиц и затухание волны) с учетом начального распределения захваченных частиц по энергии осцилляций поперек волнового фронта. В рамках такого описания становится возможным проследить эволюцию волны на значительном интервале времени, определить КПД преобразования ее энергии в кинетическую энергию ускоренных частиц и энергетический спектр этих частиц. Необходимость в подобном уточненном описании возникает, в частности, в теории квазипоперечных бесстолкновительных ударных волн при больших числах Маха из-за многопоточности движения [3]. В связи с крупными успехами в получении плазменных волн большой амплитуды [4] механизм [1, 2] рассматривается ныне и как основа перспективного плазменного ускорителя так называемого серфотрона [5, 6]. Самосогласованный подход представляет особенный интерес при исследовании серфотрона в режиме «неограниченного ускорения» [6], когда ускорение не может быть остановлено в результате увеличения поперечной фронту компоненты силы Лоренца при увеличении скорости движения вдоль фронта, поскольку величина этой скорости ограничена скоростью света. В этих условиях не зависящие от ускорения факторы (конечный размер ускоряющей системы, собственные неустойчивости и нелинейность опорной электростатической волны) весьма слабо ограничивают параметры гипотетического серфотрона [5, 7].

Основным допущением, позволяющим построить данную модель ускорения, является гипотеза адиабатичности изменения эффективного потенциала U_{eff} , в котором движется захваченная частица (рис. 1). При этом движение захва-

ченных частиц поперек фронта волны характеризуется постоянной функцией распределения $f(I/I^{(s)}(0))$ по адиабатическому инварианту

$$I = \frac{1}{2\pi} \oint \sqrt{2m(W_{\perp} - U_{\text{eff}}(x))} dx,$$

а вдоль фронта — равномерным ускорением $\dot{p}_y = m\omega_H v_{\Phi} (1 - v_{\Phi}^2/c^2)^{-1/2}$. Здесь W_{\perp} — полная энергия осцилляторного движения частицы в яме U_{eff} , v_{Φ} — фазовая скорость волны, ω_H — циклотронная частота ускоряемых частиц, $I^{(s)}(t)$ — значение I на сепаратрисе. Переход частиц из захваченных в пролетные в рамках такого описания выглядит как стягивание сепаратрисы, т. е. уменьшение параметра $I^{(s)}(t)$.

Эволюция опорной электростатической волны связана с динамикой резонансных частиц законом сохранения энергии

$$\frac{d}{dt} \left(\frac{E^2}{4\pi} \right) = -N_0 v_y \frac{dp_y}{dt} \int_0^{I^{(s)}(t)/I^{(s)}(0)} f(\xi) d\xi. \quad (1)$$

Изменение энергии пролетных частиц при их взаимодействии с волной здесь не учитывается. Влияние этого эффекта на энергетический баланс оценено в разделе 2 на основе работ [8, 9]. В области релятивистских энергий могут оказаться существенными также такие эффекты, как ондуляторное излучение отдельных ускоренных частиц [10] или коллективное взаимодействие пучка этих частиц с фоновой плазмой, выходящие, однако, за рамки адиабатического приближения.

Полученное в результате нелинейное уравнение описывает эволюцию волны и захваченных частиц вплоть до установления стационарного состояния, в котором эффективный потенциал не содержит локальных минимумов.

1. Основные уравнения

Внешнее магнитное поле в рассматриваемой модели $\mathbf{H} = (0, 0, H)$ постоянно и однородно. Поле опорной волны $E \sin(kx - \omega t)$, $\mathbf{E} = (E(t), 0, 0)$. Амплитуда волны и концентрация захваченных частиц заданы в момент $t=0$: $E(0) = E_0$, $N_{TR}(0) = N_0$. Запишем уравнения движения для электрона плазмы, захваченного волной, в движущейся вместе с ней системе отсчета (обобщение на другие сорта частиц сводится к переобозначениям)

$$mc \frac{d}{dt} (\beta_x \gamma) = -eE \sin k'x + eH \gamma v_{\Phi} \beta_y, \quad (2)$$

$$mc \frac{d}{dt} (\beta_y \gamma) = -eH \gamma v_{\Phi} (\beta_{\Phi} + \beta_x),$$

$$\beta = v/c, \quad \gamma_{\Phi} = (1 - v_{\Phi}^2/c^2)^{-1/2}, \quad v_{\Phi} = \omega/k, \quad k' = k/\gamma_{\Phi}. \quad (3)$$

Предполагая, что амплитуда осцилляций скорости захваченных частиц много меньше фазовой скорости волны, сведем эту систему к одному уравнению (2) при $\beta_y = u(1 + u^2)^{-1/2}$, $\gamma = (1 + u^2)^{1/2}$, $u = \omega_H \beta_{\Phi} \gamma \phi t$. При постоянных параметрах $\beta_y(t)$, $\gamma(t)$ и $E(t)$ это уравнение описывает движение частицы в потенциальном поле

$$m \frac{dv_x}{dt} = -\frac{\partial U_{\text{eff}}}{\partial x}, \quad (4)$$

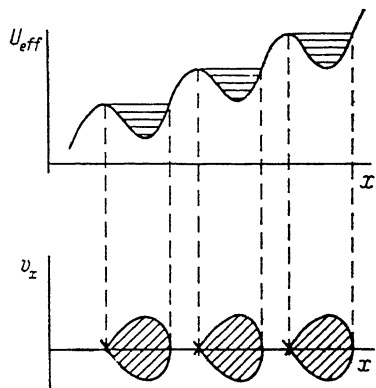


Рис. 1. Эффективный потенциал и фазовое пространство захваченных частиц.

$$U_{\text{eff}} = \gamma^{-1} \left(\frac{|e|E}{k'} \cos k'x - |e|H\beta_y \gamma_{\Phi} x \right). \quad (5)$$

Предположим теперь, что частота осцилляций захваченных частиц в поле волны много больше обратных времен τ_i^{-1} , характеризующих «медленные» процессы, меняющие эффективный потенциал: релятивистское увеличение массы частицы, уменьшение амплитуды поля волны и увеличение поперечной компоненты силы Лоренца ¹

$$\Omega = \left(\frac{|e|Ek}{m\gamma_{\Phi}\gamma} \right)^{1/2} \gg \begin{cases} \frac{d}{dt} \ln \gamma, \\ \frac{d}{dt} \ln E, \end{cases}$$

$$\Omega \gg \omega \omega_H^2 \Omega^{-2} \quad \text{при} \quad \gamma, \gamma_{\Phi} \simeq 1, \quad (6)$$

и перейдем к описанию с временным масштабом $\tau_0 \gg \Omega^{-1}$. Для этого необходимо прежде всего определить фазовый объем захваченных частиц

$$I^{(*)}(t) = \frac{1}{\pi} \int_{x_1}^{x_2} \sqrt{2m(U_{\text{eff}}(x_1) - U_{\text{eff}}(x))} dx. \quad (7)$$

Здесь $k'x_1 = \arcsin(H\beta_y \gamma_{\Phi}/E)$, а $x_2 > x_1$ — следующий по величине нуль подынтегрального выражения. Вводя теперь безразмерные переменные $\tau = t\omega\omega_H^2\gamma_{\Phi}\Omega_0^{-2}$ и $\varepsilon = E(t)/E_0$ и объединяя формулы (1), (5) и (7), получаем уравнение эволюции опорной электростатической волны в виде

$$\sigma^2 \gamma \varepsilon \frac{d\varepsilon}{d\tau} + \tau \Phi \left(\sqrt{\frac{\varepsilon}{\gamma}} g \left(\frac{\tau}{\varepsilon \gamma} \right) \right) = 0, \quad (8)$$

где $\Phi(z) = \int_0^z f(\xi) d\xi$, $\Phi(1) = 1$,

$$g(x) = \frac{1}{4\sqrt{2}} \int_{z_1(x)}^{z_2(x)} \sqrt{1-x^2+xz_1-\cos z-xz} dz, \quad (9)$$

$z_1 = \arcsin x$, z_2 определено аналогично $k'x_2$, $\sigma = \sqrt{2} \omega_H/\Omega_B$, $\Omega_B^2 = 4\pi e^2 N_0/m$, $\gamma(\tau) = (1 + \delta^2 \tau^2)^{1/2}$. $\delta = E_0/(H\gamma_{\Phi})$. $\Omega_0 = \Omega(0)$.

Энергетический спектр ускоренных частиц определяется при этом из соотношения $dN \equiv N_0 f_a(\gamma) d\gamma = -(\dot{N}_{TR}/\dot{\gamma}) d\gamma$

$$f_a(\gamma) = -\frac{\dot{\gamma}}{\delta^2 \tau} f \left(\sqrt{\frac{\varepsilon}{\gamma}} g \left(\frac{\tau}{\varepsilon \gamma} \right) \right) \frac{d}{d\tau} \left(\sqrt{\frac{\varepsilon}{\gamma}} g \left(\frac{\tau}{\varepsilon \gamma} \right) \right). \quad (10)$$

Уравнение (8) исследуем далее в двух предельных случаях: нерелятивистском ($\delta\tau \ll 1$) и ультрарелятивистском ($\delta\tau \gg 1$).

2. Нерелятивистский предел

Область нерелятивистских энергий ускоренных частиц представляет интерес прежде всего потому, что в этой области уже имеются экспериментальные данные [11-13]. Для решения уравнения (8) в этой области необходимо конкретизировать вид усредненной по фазе функции распределения захваченных частиц. Ограничимся простейшим случаем $f=1$. Однако высота этого «плато» по сравнению с распределением пролетных частиц произвольна и определяется

¹ Предположение заведомо нарушается вблизи сепаратрисы, однако величина этой области экспоненциально мала

$$\Delta I \sim I^{(*)} \exp(-\Omega\tau_0), \quad \tau_0 = \min \tau_i.$$

свободным параметром N_0/N_{UTR} , где N_{UTR} — концентрация пролетных частиц плазмы в интервале скоростей, соответствующем области захвата. С учетом всех ограничений уравнение (8) принимает вид

$$\sigma^2 \varepsilon^{1/2} \frac{d\varepsilon}{d\tau} + g\left(\frac{\tau}{\varepsilon}\right) = 0. \quad (11)$$

Система уравнений, согласованно описывающая ускорение частиц и затухание волны в нерелятивистском пределе, была получена также в работе [9] (уравнения (2. 7)), причем без явного введения грубой временной шкалы. Последнее, однако, не означало выхода за рамки адиабатического приближения, поскольку в модели [9] отсутствовало кинетическое уравнение для захваченных частиц. Наоборот, в модели [9] фактически использовался адиабатический инвариант с эффективным потенциалом, совпадающим с потенциалом электростатической волны, т. е. второе слагаемое в (5) рассматривалось как малое, а не как медленно меняющееся. При этом для описания перехода захваченных частиц в пролетные было наложено дополнительное, зависящее от фазы условие. Но на той стадии ускорения, где применим адиабатический инвариант модели [9], это условие излишне, и усреднение уравнения баланса энергии по фазам приводит к частному случаю уравнения (11) при $N_0 \simeq N_{UTR}$.

Рассмотрим различные режимы эволюции волны, описываемые уравнением (11).

а) $\sigma \gg 1$. Приближенное решение (11) имеет вид

$$\varepsilon \simeq 1 - \sigma^{-2} \int_0^{\tau} \xi g(\xi) d\xi. \quad (12)$$

Время ускорения t_* и максимальная энергия W_* ускоренных частиц, согласно (11), определяются из условия $\varepsilon(\tau_*) = \tau_*$. В данном случае $\tau_* \simeq 1$. Это режим с низким КПД преобразования энергии волны в кинетическую энергию ускоренных частиц.

б) $\sigma \ll 1$. В этом случае уравнение (11) можно решить методом сшивки. В области B_1 $\tau \ll \varepsilon$, $g(x) \simeq 1 + \frac{\pi}{8} x \ln x$,

$$\varepsilon \simeq \left(1 - \frac{3}{4} \eta^2 - \frac{3\pi}{16} \sigma \ln \sigma I(\eta)\right)^{1/2}, \quad \eta = \frac{\tau}{\sigma}, \quad (13)$$

$$I(\eta) = \int_0^{\eta} x^2 \left(1 - \frac{3}{4} x^2\right)^{-1/2} dx. \quad (14)$$

Отметим, что формула (13) описывает эффект «взрывного затухания» волны [14]. В области B_2 $\tau \simeq \tau_*$

$$\varepsilon \simeq \tau_* F^{-1}\left(\frac{\tau_* - \tau}{\sigma^2 \tau_*^{1/2}}\right), \quad (15)$$

$$F(z) = \int_0^z x^{1/2} (g(x^{-1}) + \sigma^2 \tau_*^{-1/2})^{-1} dx. \quad (16)$$

В результате для времени ускорения получаем формулу

$$\tau_* \simeq \frac{2\sigma}{\sqrt{3}} \left(1 - \frac{\pi}{8\sqrt{3}} B\left(\frac{3}{2}, \frac{5}{3}\right) \sigma \ln \sigma\right), \quad (17)$$

где $B(x, y)$ — бета-функция.

Функцию $\tau_*(\sigma)$ при конечных значениях параметра σ можно получить, численно интегрируя уравнение (11). Зависимости максимальной энергии ускоренных частиц и минимальной амплитуды электрического поля (непосредственно связанной с КПД ускорения) от величины внешнего магнитного поля отражают функции $\eta_*^2(\sigma)$ и $\varepsilon_*(\sigma)$ (рис. 2). Первая из этих зависимостей найдена

также в экспериментах [11-13]. Экспериментальная зависимость ($\eta_* \sim \sigma$ при $\sigma \rightarrow 0$, $\eta_* \sim \sigma^{-1}$ при $\sigma \rightarrow \infty$) в области малых σ отлична от модельной ($\eta_* = \text{const}$). Противоречие можно объяснить отсутствием зарядовой нейтрализации потока захваченных электронов, формируемого в условиях [11-13] при линейной трансформации электромагнитной волны в плазменную. Учет в уравнении (2) силы $\Delta \vec{F} \simeq -4\pi e^2 N_0 v_\Phi t$, связанной с разделением зарядов, эквивалентен замене параметра σ на величину

$$\sigma_{eff} = \sigma(1 + 2\sigma^2) \quad (18)$$

и дает нужную асимптотику $\eta_*(\sigma)$ в нуле. Из формулы (18) следует также оценка для «времени корреляции» t_c , не зависящего от магнитного поля и введенного в работе [11] для объяснения экспериментальной зависимости $\eta_*(\sigma)$: $t_c \sim \Omega_0^2 \omega^{-1} \Omega_B^{-2}$.

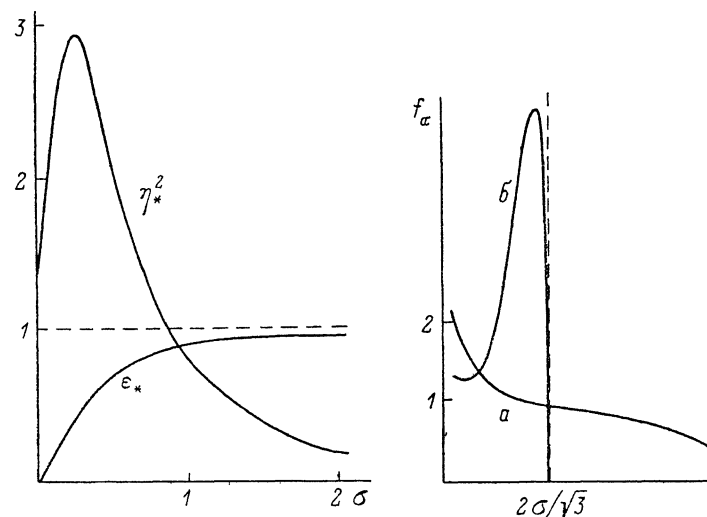


Рис. 2. Зависимости (в безразмерных переменных) максимальной энергии ускоренных частиц η_*^2 и минимальной амплитуды электрического поля ϵ_* от параметра σ в нерелятивистском случае.

Рис. 3. Функция распределения ускоренных частиц $f_\alpha(v_y)$ для различных режимов ускорения в нерелятивистском случае.

$$a - \sigma \gg 1, \quad b - \sigma \ll 1.$$

Путем введения добавочного гравитационного слагаемого в эффективный потенциал можно учесть влияние неоднородности плазмы на процесс ускорения [15]. Однако численное моделирование влияния неоднородности плазмы и внешнего магнитного поля на процесс захвата и ускорения частиц [6] показало, что для повышения эффективности ускорения степень неоднородности плазмы необходимо уменьшать.

Энергетический спектр ускоренных частиц в нерелятивистском случае удобнее описывать с помощью функции распределения по скорости v_y . Из соотношения (10) получаем в безразмерных переменных

$$f_\alpha(\tau) = -\frac{d}{d\tau} \left(\epsilon^{1/2} g \left(\frac{\tau}{\epsilon} \right) \right), \quad v_y = v_\Phi \tau \frac{\Omega_0^2}{\omega \Omega_H}. \quad (19)$$

Максимальная скорость частиц определяется формулами (12), (17)

$$v_{y*} = v_\Phi \frac{\Omega_0^2}{\omega} \begin{cases} \omega_H^{-1}, & \sigma \gg 1, \\ \Omega_B^{-1}, & \sigma \ll 1 \end{cases} \quad (20)$$

В пределе $\sigma \gg 1$ функция распределения $f_\alpha \simeq -g'(\tau)$ монотонна (рис. 3, кривая a). В нуле она имеет интегрируемую логарифмическую особенность —

следствие предположения о бесконечно малой толщине неадиабатического слоя вблизи сепаратрисы. При $\sigma \ll 1$ и $\tau \ll \varepsilon$, согласно (13),

$$f_a \simeq -\frac{1}{2} \varepsilon'_\tau \varepsilon^{-1/2} - \frac{\pi}{8} \left(\varepsilon^{-1/2} - \tau \varepsilon'_\tau \varepsilon^{-3/2} \right) \ln \frac{\tau}{\varepsilon}, \quad (21)$$

а в области $\tau \simeq \tau_* \simeq \varepsilon$ имеет максимум (рис. 3, кривая б). Покажем это. Согласно (11) и (19),

$$f_a = \frac{\sigma^2}{\tau^2} (\tau \varepsilon \varepsilon''_\tau + \varepsilon (\varepsilon'_\tau)^2 - \varepsilon \varepsilon'_\tau). \quad (22)$$

В области, где аргумент функции F^- конечен, согласно (15) и (17), $\varepsilon \sim \sigma$, $\varepsilon'_\tau \sim \sigma^{-3/2}$, $\varepsilon''_\tau \sim \sigma^{-4}$. Отсюда с помощью (22) находим, что высота максимума $f_a \sim \sigma^{-2}$, его ширина $\Delta \tau \sim \sigma^{1/2}$, а доля частиц в этой части спектра $\Delta N_{\max}/N_0 \sim \sigma^{1/2}$.

В А-режиме, когда время ускорения велико, а КПД ускорения мал, может оказаться существенным затухание опорной волны на пролетных частицах. Количественной мерой здесь является относительное изменение амплитуды волны в процессе ускорения $\Delta \varepsilon$

$$\Delta \varepsilon_{TR} = \varepsilon - \varepsilon_* \quad (23)$$

для захваченных частиц и

$$\Delta \varepsilon_{UTR} = t_* \frac{d\varepsilon}{dt} \quad (24)$$

для пролетных. Согласно (23) и результатам работ [8, 9], для максвелловского распределения пролетных частиц с тепловой скоростью v_T в А-режиме ускорения

$$\frac{\Delta \varepsilon_{UTR}}{\Delta \varepsilon_{TR}} \sim \frac{N_{UTR}}{N_0} \begin{cases} \left(\frac{\omega_H v_\Phi}{\Omega_0 v_T} \right)^2 \frac{kv_y}{\Omega_0}, & t \leq \frac{2\pi}{\omega_H} \\ \left(\frac{\omega_H \Omega_0}{\Omega_B \omega} \right)^2 \frac{\omega_{UTR}}{\omega_E} v^2, & v \ll 1, \\ \left(\frac{\omega_H \Omega_0}{\Omega_B \omega} \right)^2 \frac{\omega_{UTR}}{\omega_E} \frac{\ln^2 v}{v}, & v \gg 1, \end{cases} \quad (25)$$

где $v = \Omega_0^2 (\omega \omega_H)^{-1}$; w_E , w_{UTR} — плотности энергии волны и пролетных частиц. Первая из оценок (25) получена в адиабатическом приближении. На больших временных масштабах $t \gg 2\pi\omega_H^{-1}$ затухание на пролетных частицах определяется стохастическим нагревом этих частиц [8, 9].

3. Ультрарелятивистский предел

В ультрарелятивистском пределе за время $\tau \leq \delta^{-1}$ расходуется малая часть общего изменения энергии опорной волны. В этих условиях уравнение (8) можно упростить, разлагая в ряд функцию распределения Φ в нуле

$$x\varphi^{1/2}\varphi'_z - (2z)^{-5/4}g\left(\frac{1-z}{\varphi}\right) = 0, \\ \varphi = \delta\varepsilon, \quad z = 1 - \delta\tau\gamma^{-1}, \quad x = \sigma^2\delta^{1/4}/f(0). \quad (26)$$

Приближение (26) означает, что основную часть энергии волны, переданной частицам, уносят наиболее глубоко захваченные, наиболее долго ускоряемые и, следовательно, наиболее энергичные частицы.

Режим «неограниченного ускорения» [5] определяется условием $\delta > 1$ или $E_0 > H\gamma_\Phi$. Будем решать уравнение (26) в пределе $\delta \gg 1$, сшивая его приближенные решения в различных областях. Это прежде всего область O_1 , где $g \simeq 1$ из-за малости аргумента этой функции. Решение (26) здесь

$$\frac{2}{3} x (\varphi^{5/2} - \delta^{5/2}) + 2^{1/4} (z^{-1/4} - 1) = 0. \quad (27)$$

Согласно (27), в ультрарелятивистском пределе должно выполняться также условие $\kappa \delta^{1/2} \gg 1$. При этом зависимость g от аргумента становится существенной только при малых z в области O_2 , где $g \simeq g(1/\varphi)$. Решая (26), в этой области имеем

$$\kappa \int_{\varphi_c}^{\varphi} \frac{x^{1/2}}{g(x^{-1})} dx + 2^{1/4} (z^{-1/4} - z_c^{-1/4}) = 0. \quad (28)$$

Здесь φ_c и Z_c — неизвестные константы, связанные условием сшивки (27) и (28) при $\varphi \gg 1$

$$z_c^{-1/4} - \frac{10}{3} \kappa \Delta \varphi_c^{-1/4} \simeq \frac{2^{1/4}}{3} \kappa \delta^{1/2},$$

$$\Delta \varphi_c = \varphi_c - 1 \ll 1. \quad (29)$$

Из асимптотики функции $g(\xi)$ при $\xi \rightarrow 1$

$$g(1-x) \simeq \frac{2^{1/4} 3}{5} x^{5/4} \ll 1 \quad (30)$$

следует, что левая часть (28) расходится при $\varphi \rightarrow 1$. Тем не менее затухание опорной волны может остановить процесс ускорения за конечное время, если величина $\Delta \varphi = \varphi - 1$ станет сравнима с z . Как следует из асимптотики (28) при $\Delta \varphi$, $\Delta \varphi_c \ll 1$

$$\frac{10}{3} \kappa (\Delta \varphi^{-1/4} - \Delta \varphi_c^{-1/4}) = z^{-1/4} - z_c^{-1/4}, \quad (31)$$

что возможно, если только $\kappa \ll 1$. Приближенное решение (26) в области $|\Delta \varphi|$, $z \ll 1$ при $\kappa \ll 1$ следует из (30)

$$\int_0^{1+\Delta \varphi/z} \left(\frac{3}{10} \frac{x^{5/4}}{x} + 1 \right)^{-1} dx = \ln \frac{z}{z_*}, \quad z_* = \min z \quad (32)$$

и сшивается с (31) при $\Delta \varphi \gg z$

$$z^{-1/4} D(x) - \frac{10}{3} \kappa \Delta \varphi^{-1/4} \simeq \frac{1}{4} z^{-1/4} \ln \frac{z}{z_*}, \quad (33)$$

$$D(x) = \frac{1}{4} \int_0^{\infty} \left(\frac{3}{10} \frac{x^{5/4}}{x} + 1 \right)^{-1} dx \sim x^{1/4}, \quad (34)$$

если учесть, что, согласно (32), $\ln(z/z_*) \ll 1$. Объединяя (29), (31) и (33), получаем, что

$$z_* \simeq \frac{81}{2} \kappa^{-4} \delta^{-6}, \quad (35)$$

и, таким образом, при условиях $E_0 \gg H \gamma_\Phi$ и $2\pi m c^2 N_0 f(0) \gg E^{1/2} H^{1/2} \gamma_\Phi^{-1/2}$ предельно достижимая энергия ускоренных частиц $m c^2 \gamma_*$ определяется формулой

$$\gamma_* \simeq \left(\frac{E_0^2}{6\pi m c^2 \gamma_\Phi^2 N_0 f(0)} \right)^2, \quad (36)$$

т. е. определяется квадратом отношения плотностей энергии волны и глубокозахваченных частиц в лабораторной системе отсчета в начале ускорения.

В другом предельном случае $\kappa \gg 1$ нелинейное затухание волны не останавливает процесс ускорения в целом и при $\gamma \gg \gamma_*$ описывается, согласно (29) и (31), уравнением

$$\Delta \varphi \simeq z \left(\frac{10z}{3} \right)^4 (1 - z^{1/4} z_c^{-1/4})^{-4}. \quad (37)$$

Это, однако, вовсе не означает, что реализуется неограниченное ускорение частиц. В адиабатическом приближении даже при постоянной амплитуде опорной волны амплитуда осцилляций захваченной частицы неизбежно возрастает из-за релятивистского увеличения ее массы. Поэтому необходимым условием неограниченного ускорения является нарушение адиабатичности по параметру $\gamma(t)$, что совместно с критерием [5] дает

$$1 < \frac{E}{H\gamma\Phi} \leq \frac{\omega_H\omega^2}{k^2c^3} \gamma_\Phi^2, \quad (38)$$

КПД ускорения при $\gamma \gg 1$ близок к единице.

Энергетический спектр частиц (10) в ультррелятивистском пределе имеет вид

$$f_a(\gamma) \simeq \frac{f(0)}{\delta^{1/2}\gamma^3} \left[\varphi^{1/2} (2z)^{1/2} g\left(\frac{1-z}{\varphi}\right) \right]_z, \quad (39)$$

где $z \simeq (2\gamma^2)^{-1}$.

При малых x спектр определяется в основной области O_1

$$f_a(\gamma) \simeq \frac{f(0)}{2\gamma^{3/2}} \vartheta(\gamma_* - \gamma), \quad (40)$$

где $\vartheta(x)$ — единичная функция Хевисайда.

Если же x велико, то в области энергий $\gamma \gg \gamma_*$, согласно (37) и (40),

$$f_a(\gamma) \simeq \frac{9}{10} \frac{f(0)}{\delta^{1/2}\gamma^4} \left(\frac{10x}{3}\right)^5, \quad (41)$$

т. е. энергетический спектр в логарифмическом масштабе имеет излом, подобный излому спектра космических лучей сверхвысокой энергии [17] (рис. 4).

Таким образом, несмотря на то, что энергетический разброс ускоренных частиц — прямое следствие их начального разброса по энергиям, имеется целый ряд особенностей энергетического спектра ускоренных частиц, характеризующих не особенности исходного спектра, а данный специфический механизм ускорения.

Разложение в ряд функции распределения захваченных частиц $f(I/I^{(s)}(0))$, сделанное при получении приближения (26), некорректно для распределений, достаточно резко меняющихся у дна потенциальной ямы. Поэтому в качестве приближения, обратного (26), рассмотрим ускорение частиц с начальным распределением $f(\xi) = f_0(f_0^{-1} - \xi) \vartheta(\xi)$ при $f_0 \gg 1$. В этом случае уравнение (8) имеет вид

$$\sigma^2 \varphi \varphi'_z - (2z)^{-3/2} \Phi \left[\varphi^{1/2} \delta^{-1/2} (2z)^{1/2} g\left(\frac{1-z}{\varphi}\right) \right] = 0 \quad (42)$$

и легко интегрируется на первом этапе ускорения, когда $f=0$ при условии $g \simeq 1$

$$\varphi \simeq (\delta^2 - \sqrt{2} \sigma^{-2} z^{-1/2})^{1/2}. \quad (43)$$

Подставляя это решение в условие

$$\varphi^{1/2} (2z)^{1/2} g\left(\frac{1-z}{\varphi}\right) = \delta^{1/2} f_0^{-1}, \quad (44)$$

определяющее начало следующего этапа ускорения ($f=f_0$), находим минимальную энергию ускоренных частиц

$$\gamma_*^{\min} \simeq \begin{cases} \frac{E_0^2}{4\pi N_0 \gamma_\Phi^2 m c^2}, & \sigma \delta \ll f_0, \\ f_0^2, & \sigma \delta \gg f_0. \end{cases} \quad (45)$$

$$(46)$$

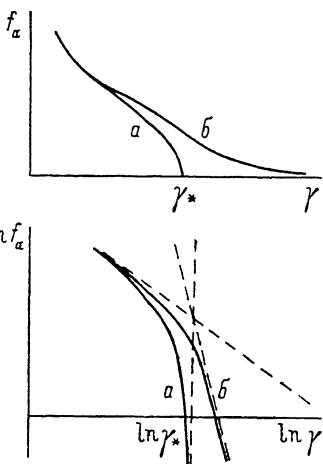


Рис. 4. Энергетический спектр ускоренных частиц в ультррелятивистском предельном случае для различных режимов ускорения при одной критической энергии γ_* .

$$a - x \leq 1, \quad b - x \geq 1.$$

Отметим, что формула (45) согласуется с оценкой, полученной в работе [7] непосредственно из закона сохранения энергии. Энергетический спектр ускоренных частиц определяется по-прежнему уравнением (26), однако с другим параметром $\kappa = \sigma^2 \delta^{1/2} / f_0^1$ и начальным условием $\varphi(\bar{z}) = \bar{\varphi}$, где \bar{z} определяется формулой (44), а $\bar{\varphi}$ — формулой (43). Решая это уравнение в области типа O_1 , мы найдем энергию γ_*^{\max} , аналогичную критической энергии γ_* (формула (36)) и определяющую масштаб энергетического спектра ускоренных частиц как функцию начального разброса их по адиабатическому инварианту (и, следовательно, по энергии осцилляций поперек волнового фронта)

$$\gamma_*^{\max} \approx \gamma_*^{\min} \begin{cases} 1 + \frac{1}{3} \left(\frac{\sigma \delta}{f_0} \right)^4, & \sigma \delta \ll f_0, \\ \frac{1}{9} \left(\frac{\sigma \delta}{f_0} \right)^4, & \sigma \delta \gg f_0. \end{cases} \quad (47)$$

$$\gamma_*^{\max} \approx \gamma_*^{\min} \begin{cases} 1 + \frac{1}{3} \left(\frac{\sigma \delta}{f_0} \right)^4, & \sigma \delta \ll f_0, \\ \frac{1}{9} \left(\frac{\sigma \delta}{f_0} \right)^4, & \sigma \delta \gg f_0. \end{cases} \quad (48)$$

Распределение захваченных частиц по адиабатическому инварианту по существу всегда конечной ширины, поскольку сингулярное распределение $f(\xi) = 2\delta(\xi)$ неустойчиво, как пучок относительно филаментации (т. е. слипания токовых слоев соседних потенциальных ям) [18] и возбуждения электростатических бернштейновских волн, распространяющихся под углом к потоку частиц [19], а также как поток осцилляторов с частотой Ω относительно возбуждения поперечных циклотронных волн, распространяющихся вдоль потока в режиме аномального доплер-эффекта [20]. Подробный анализ указанных неустойчивостей выходит за рамки настоящей работы и составляет предмет отдельного сообщения.

Автор глубоко благодарен Л. М. Горбунову, А. П. Кропоткину, С. С. Моисееву и А. А. Рухадзе за обсуждение работы и ценные замечания.

Литература

- [1] Сагдеев Р. З. // Вопросы теории плазмы / Под ред. М. А. Лентовича. М.: Госатомиздат, 1964. Вып. 4. С. 20—80.
- [2] Сагдеев Р. З., Шапиро В. Д. // Письма в ЖЭТФ. 1973. Т. 17. Вып. 7. С. 389—394.
- [3] Arefiev V. S., Balikhin M. A., Gedalin M. E. et al. // Proc. J. Varenna-Abastumani Intern. School and Workshop on Plasma-Astrophys. 1986. P. 243—252.
- [4] Umstadter D., Williams R., Clayton C., Joshi C. // Phys. Rev. Lett. 1987. Vol. 59. N 3. P. 292—295.
- [5] Katsouleas T., Dawson J. M. // Phys. Rev. Lett. 1983. Vol. 51. N 5. P. 392—395.
- [6] Файнберг Я. Б. // Физика плазмы. 1987. Т. 13. Вып. 5. С. 607—625.
- [7] Моисеев С. С., Мухин В. В., Новиков В. Е., Сагдеев Р. З. // ДАН СССР. 1985. Т. 285. № 2. С. 346—349.
- [8] Karney C. F. F. // Phys. Fluids. 1979. Vol. 22. N 11. P. 2188—2209.
- [9] Заславский Т. М., Мальков М. А., Сагдеев Р. З., Шапиро В. Д. // Физика плазмы. 1986. Т. 12. Вып. 7. С. 788—805.
- [10] Заславский Г. М., Моисеев С. С., Черников А. А. // ЖЭТФ. 1986. Т. 91. Вып. 1 (7). С. 98—105.
- [11] Nishida Y., Yoshizumi M., Sugihara H. // Phys. Lett. 1984. Vol. 105A. N 6. P. 300—302.
- [12] Nishida Y., Yoshizumi M., Sugihara R. Institute Plasma Phys. Nagaya Univ. Rep. IPPJ-648. Nagaya, 1983.
- [13] Nishida Y., Sato N. // Proc. XVIII Intern. Conf. on Phenomena in Ionised Gases. Swansea, 1987. Vol. 1. P. 216—217.
- [14] Грибов В. Э., Сагдеев Р. З., Шапиро В. Д., Шевченко В. И. // Письма в ЖЭТФ. 1985. Т. 42. Вып. 2. С. 54—58.
- [15] Истомина Я. Н., Карпман В. И., Шкляр Д. Р. // ЖЭТФ. 1975. Т. 69. Вып. 3 (9). С. 909—920.
- [16] Ерохин Н. С., Лазарев А. А., Моисеев С. С. и др. // Физика плазмы. 1987. Т. 13. Вып. 9. С. 1082—1089.
- [17] Христиансен Г. Б. Космические лучи сверхвысоких энергий. М., 1974. 268 с.
- [18] Маганьков В. Г., Рухадзе А. А. // Ядерный синтез. 1962. Т. 2. С. 177—182.
- [19] Судан Р. Н. // Основы физики плазмы. Дополнение к т. 2 / Под ред. А. А. Галеева и Р. Судана. М.: Энергоатомиздат, 1984. С. 38—82.
- [20] Электродинамика плазмы / Под ред. А. И. Ахизера. М.: Наука, 1974. 719 с.